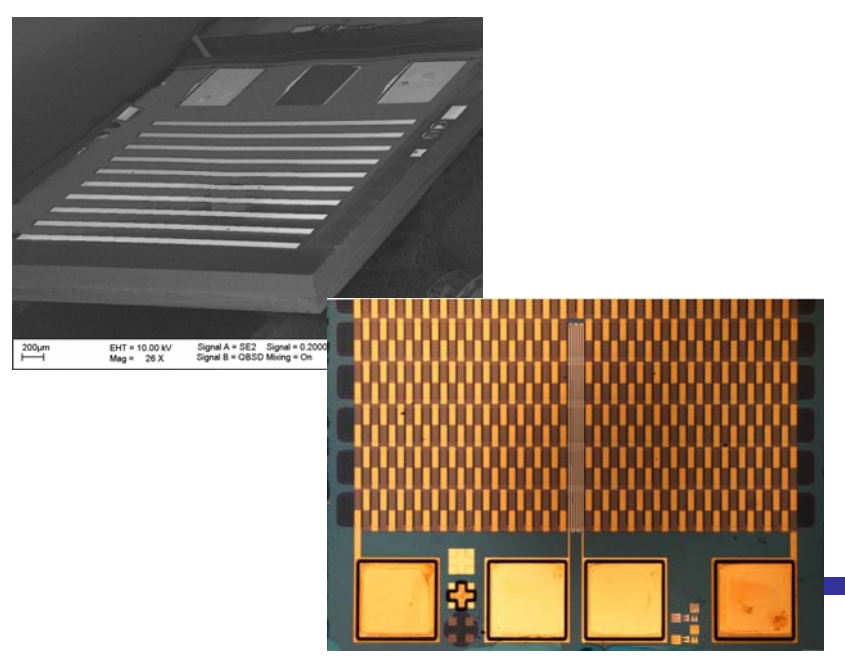
Développement de nouveaux microcapteurs de flux thermiques - Applications aux contrôles de systèmes thermiques

K. ZIOUCHE, P. LEJEUNE, D. LECLERCQ,



Corte, 13 juin 2013

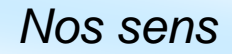




Préambule









Température

Chaleur

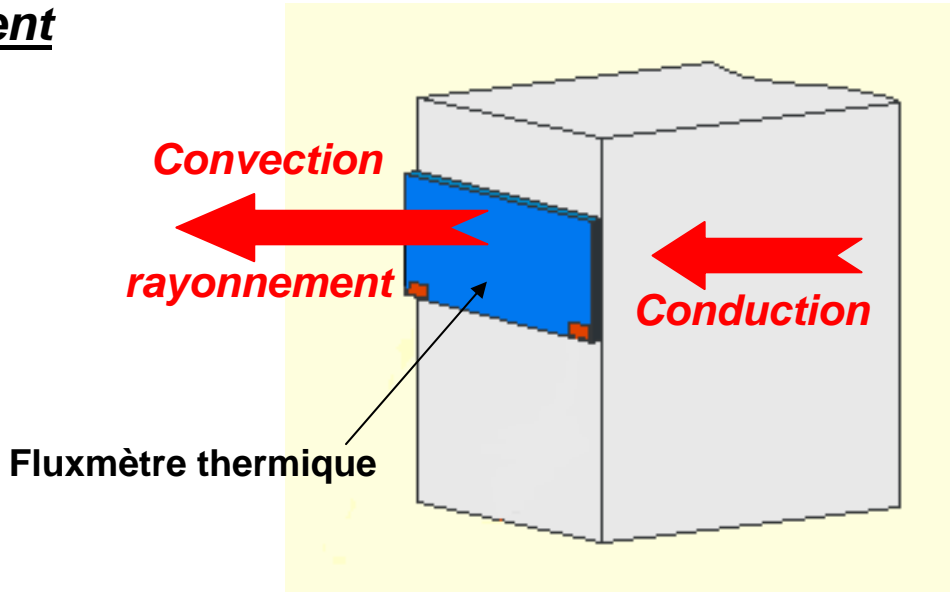
Insuffisance de la température pour étudier l'état thermique de la matière

Calorique / Chaleur





Échanges d'énergie entre un corps et son environnement



SOLUTION IDEALE:

- Le fluxmètre doit être un capteur de flux thermique total
- Ne pas perturber les échanges thermiques du corps à étudier
- Faible coût de fabrication





Grandeurs accessibles à la mesure

ELECTRICITE

Différence de potentiel (V)

Courant (A)

THERMIQUE

Température (K)

Flux thermique (W)

Mesure de la température

Capteurs en contact avec le corps (sondes platine, thermocouples, CTN)

Capteurs sans contact avec le corps (détection du rayonnement infrarouge émis par le corps) Fabricant important (Dexter , USA)

Mesure du flux thermique

Très peu de capteurs de ce type disponibles sur le marché mondial : Fabricants identifiés : (Vatel, USA et Captec, Fr, dans les deux cas capteurs très coûteux)

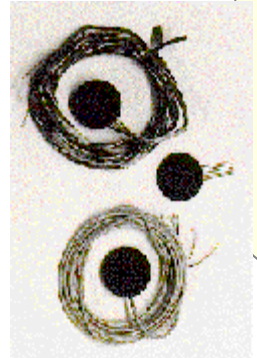
Avantage de la mesure de flux thermique permet d'anticiper la variation de température





Etat de l'art





Dimensions 7.4x10.7mm²
Epaisseur 1.5 mm
Temps de réponse 3 s
Sensibilité 18 μV.m²/W
Température 148.5 °C

Fluxmètre Captec:

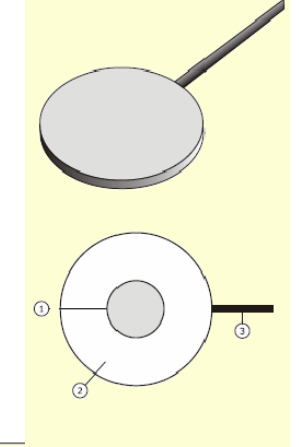
Dimensions 10x10 mm²
Epaisseur 420 μm
Temps de réponse 150 ms
Sensibilité 0.3 μV.m²/W
Température 200 °C



Fluxmètre Vatell:

Dimensions 10x10mm²
Epaisseur 0.25 mm
Temps de réponse 0.9 s
Sensibilité 0.1 µV.m²/W
Température 150 °C





- -Coûteux
- -Résistance thermique élevée
- -Limite en température
- -Non compatible CMOS

Fluxmètre Hukseflux:

Dimensions 80 mm ∅

Epaisseur 5 mm

Temps de réponse 240 s

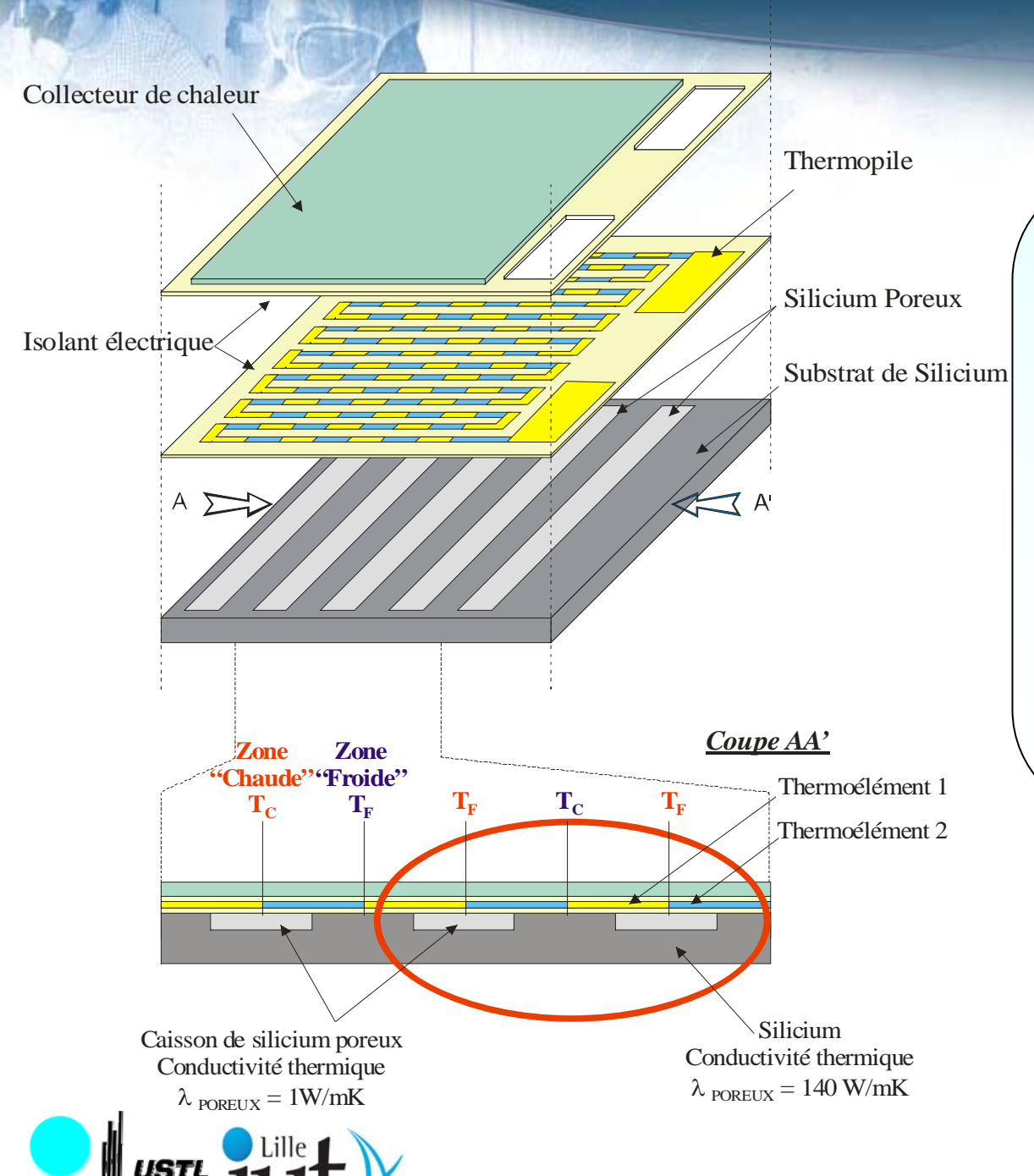
Sensibilité 50 µV.m²/W

Température 70 °C





Fluxmètre thermique à simple déflection de flux



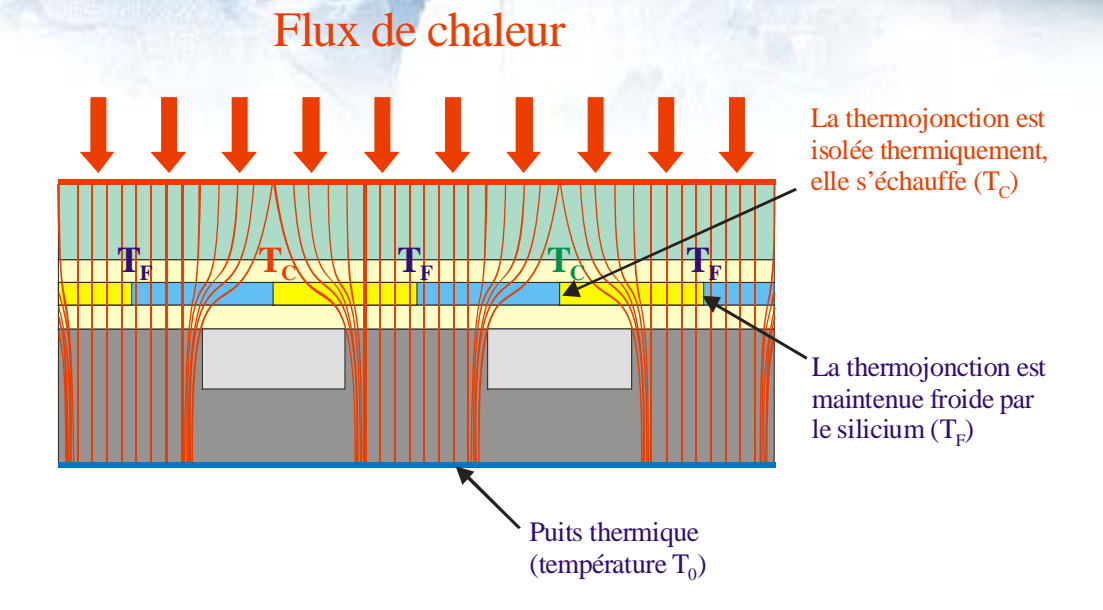
Le fluxmètre constitué de 3 parties fonctionnelles :

- Revêtement supérieur : Collecte la chaleur
- Élément de détection : Thermopile en polysilicium dopée alternativement Bore et Phosphore (pouvoir thermoélectrique compensé)
- Substrat anodisé sélectivement : Evacuation thermique dissymétrique

Capteur technologie silicium innovant : BREVET international IEMN / CNRS 2009



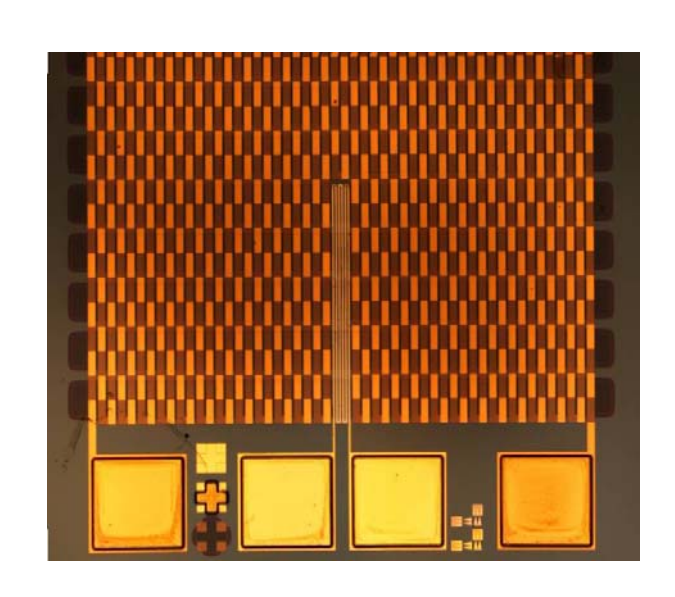
Principe de fonctionnement



Les gradients thermiques générés sont détectés par la thermopile et transformés en f.e.m. Seebeck

 $V_{\text{SEEBECK}} = N.\Delta\alpha_{\text{POLYSILICIUM}}.\Delta T$

La chaleur est distribuée périodiquement vers une thermojonction sur deux. Celles qui se situent au dessus du silicium sont maintenue à une température quasi froide (T_F) , les autres isolées thermiquement voient leur température s'élever (T_C) .

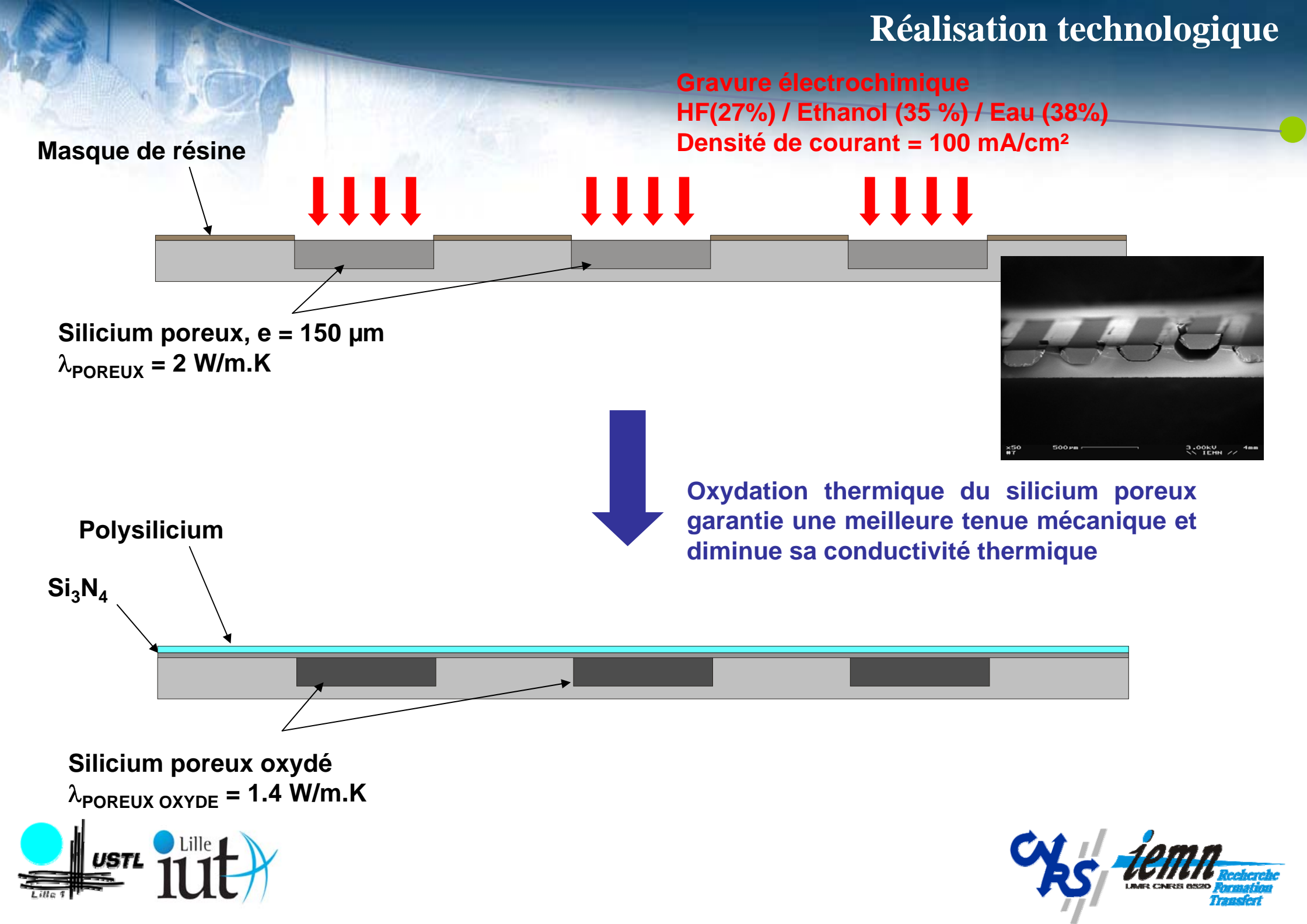


Une Pt₁₀₀₀ intégrée au cœur du capteur permet de connaître sa température de surface



$$R_{Pt_{1000}}(T) = 1014.(1+3.1.10^{-3}\theta)$$

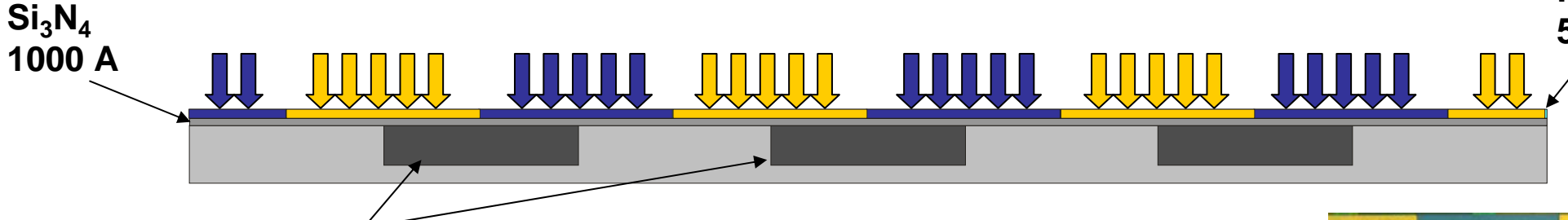




Réalisation technologique

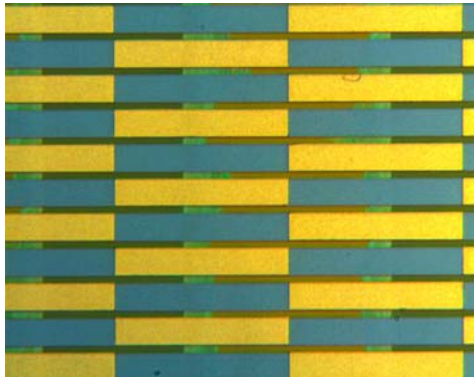
Implantation P Bore 10^{16} at/cm² E = 20 keV $\alpha = 196 \mu V/K$, $\rho = 3.1 10^{-3} \Omega$.cm Implantation N Phosphore 10^{16} at/cm² E = 100 keV $\alpha = 154 \,\mu\text{V/K}, \, \rho = 1.7 \, 10^{-3} \,\Omega$.cm

Polysilicium 5000 A



Silicium poreux oxydé

 $\lambda_{POREUX\ OXYDE} = 1.4\ W/m.K$



Pouvoir thermoélectrique élevé : $(\alpha_{Phosphore/Bore})_{293 \text{ K}} = 350.8 \,\mu\text{V/K}$

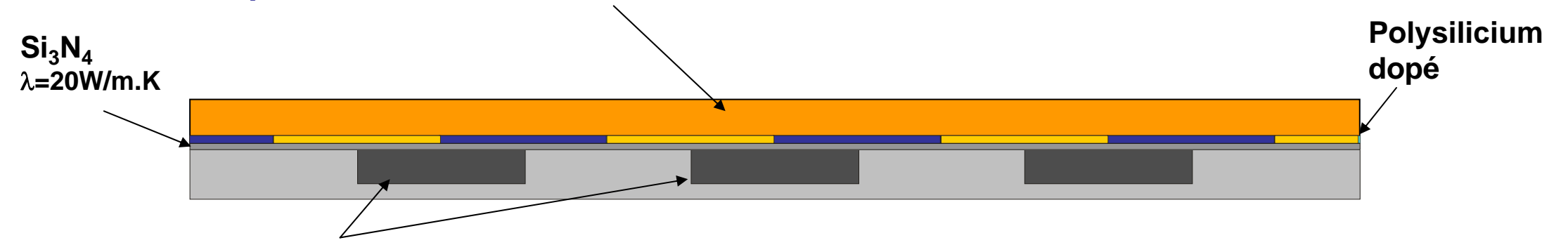
Grand nombre de thermocouples associés en série (n = 500)





Réalisation technologique





Silicium poreux oxydé

 $\lambda_{POREUX\ OXYDE} = 1.4\ W/m.K$

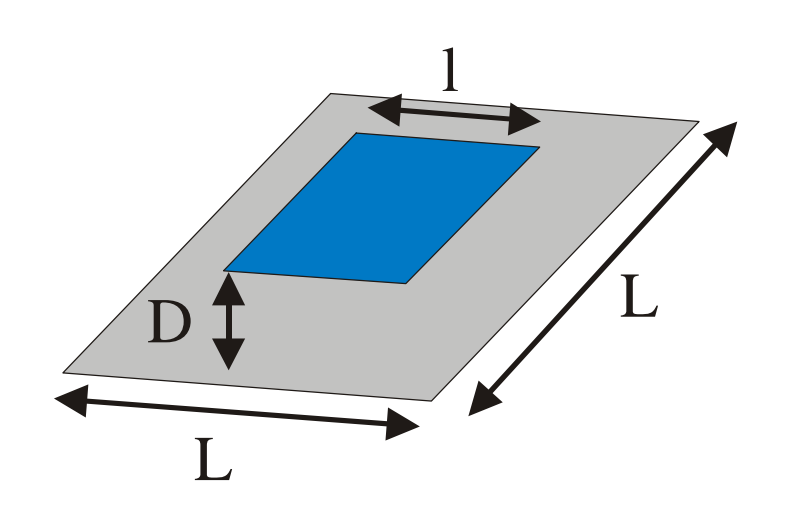
L'absorptivité élevé du Polyimide (a = 0.9) en fait un très bon absorbant Infrarouge





Facteur de forme entre une source de dimensions importantes et le capteur

Une équation analytique approchée permettant d'évaluer les échanges radiatifs avec une précision de 5% est :



$$Fcp = \frac{1}{1 + \frac{\pi}{Surface_{cible}}.D^{2}}$$

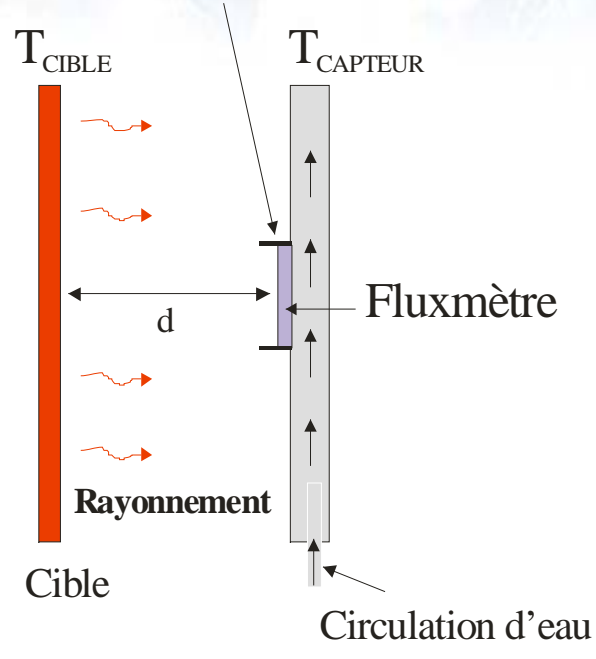
Expression valide si $I \le L/5$



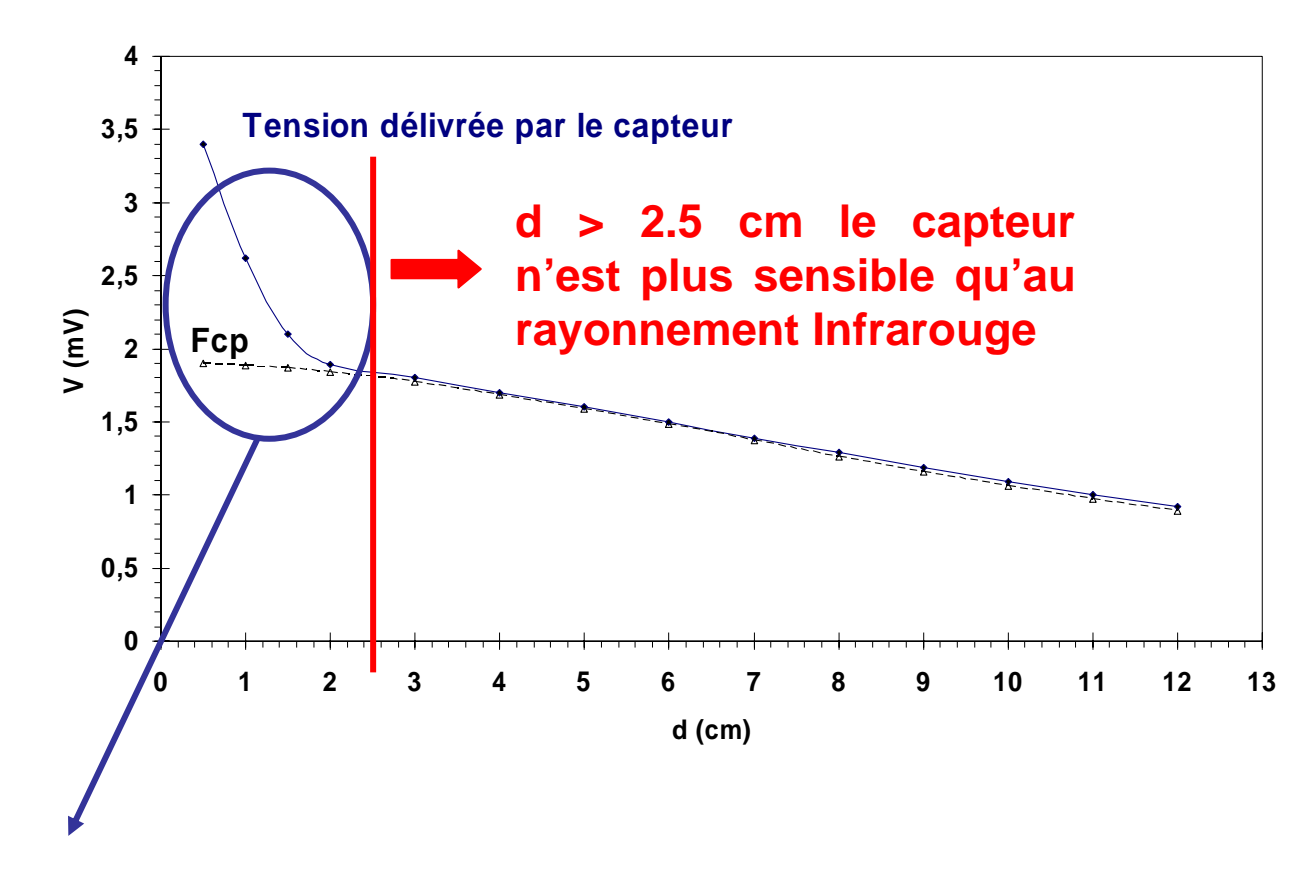


Caractérisations

Encapsulation sans fenêtre



Tension délivrée par le capteur lorsque celui-ci est disposée face à une cible d'émissivité proche de 1 élevée à 70°C (Surface cible 20x 20 cm² > Surface capteur 0.5 x 0.5 cm²)

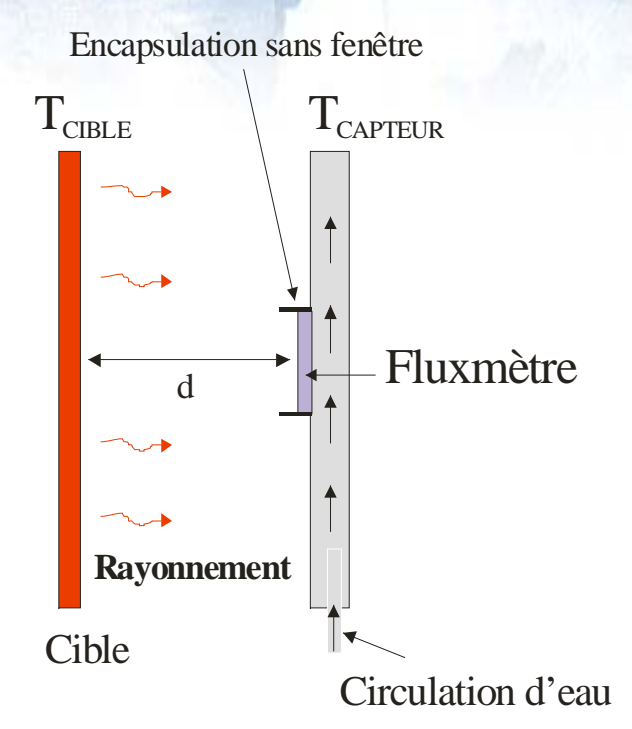


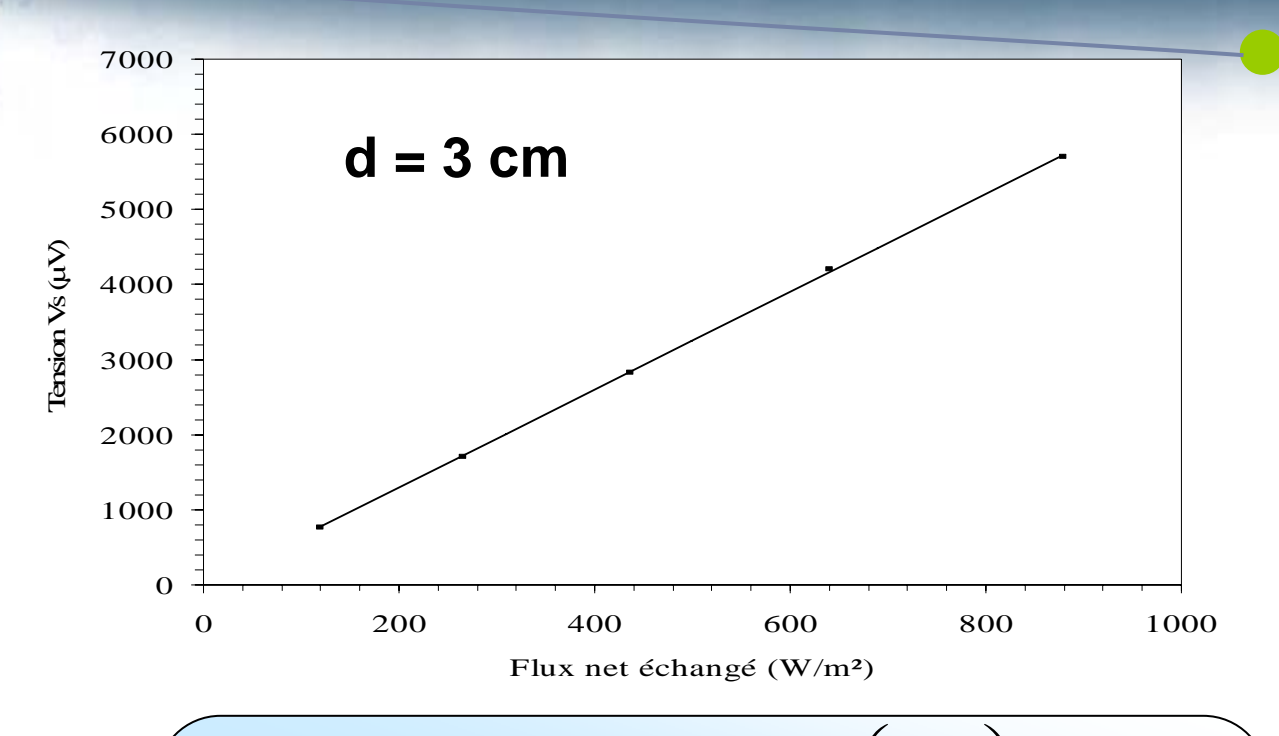
Ecart est lié à la sensibilité de l'air





Caractérisations





Le flux radiatif net (W/m²) échangé entre la cible et le capteur

$$\varphi = 0.95\sigma_0 \left(T_{cible}^4 - T_{capteur}^4 \right)$$

 σ_0 = 5.67 10⁻⁸ W.m⁻².K⁻⁴, constante de BOLTZMAN

Sensibilité du capteur
$$S_E = \left(\frac{\partial V}{\partial \varphi}\right)_{T_{CAPTEUR} = cste}$$

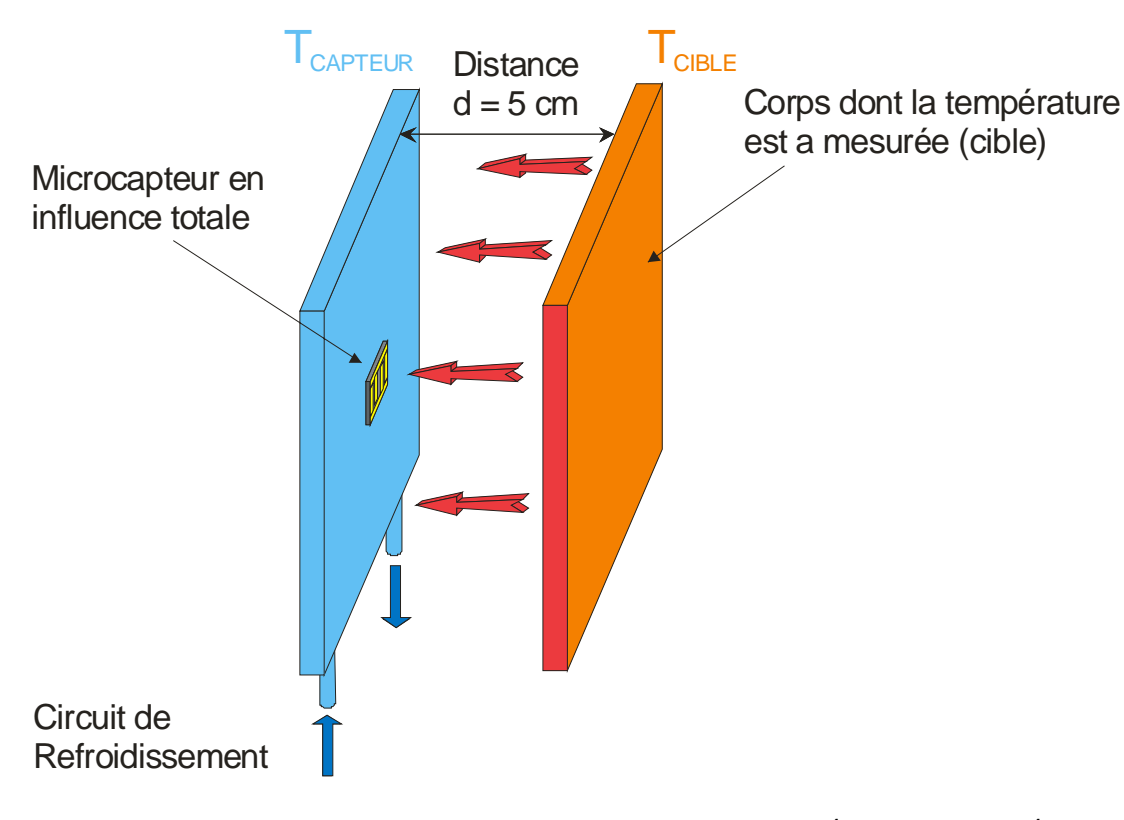
 $S_E = 6.5 \, \mu V/(W/m^2) \text{ ou } 260 \, \text{mV/W}$





Applications

Principe de la mesure sans contact de la température d'un corps par détection du rayonnement infrarouge



Capteur Infrarouge industriel



✓ Le capteur doit rester propre

✓ Sa température de fonctionnement peut être inférieure à la température de la cible

$$\phi_{net} = \sigma.S.\varepsilon_{Cible}.(T_{Cible}^4 - T_{Capteur}^4)$$
Loi de Stefan Boltzmann

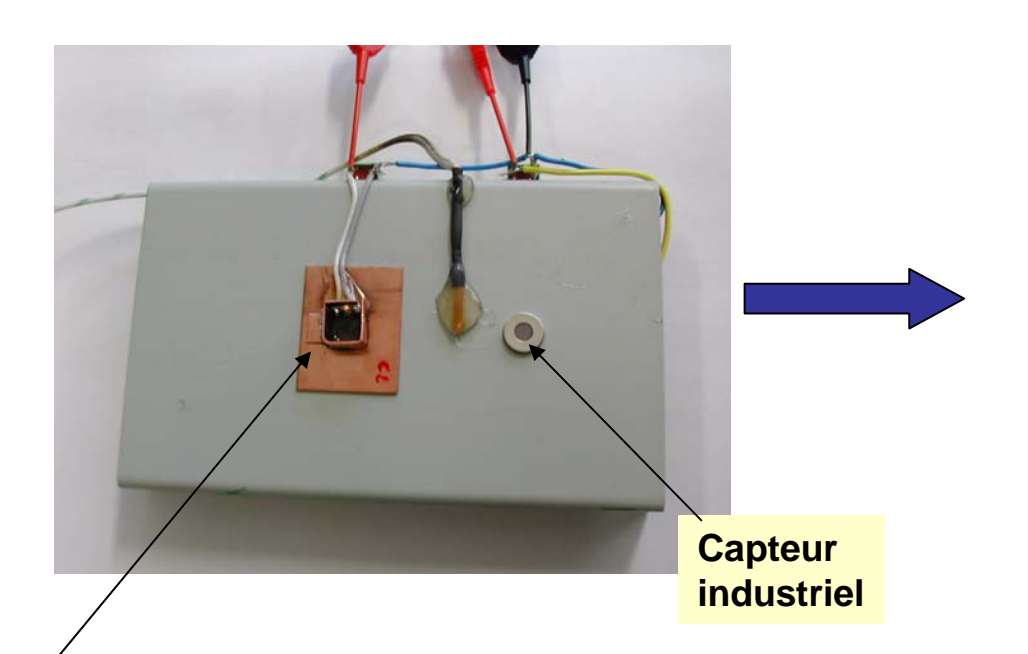




Mesure de température sans contact en milieu sale

Les capteurs infrarouge usuels deviennent inopérant lorsque la fenètre de protection est sale

Validation expérimentale : les deux capteurs sont disposés face à une cible à 100 °C



Température mesurée	Capteur IEMN	Capteur industriel
Avant salissure	97 °C	99 °C
Après salissure (graisse + graphite)	99 °C	38 °C
Erreur	< 5%	> 60%

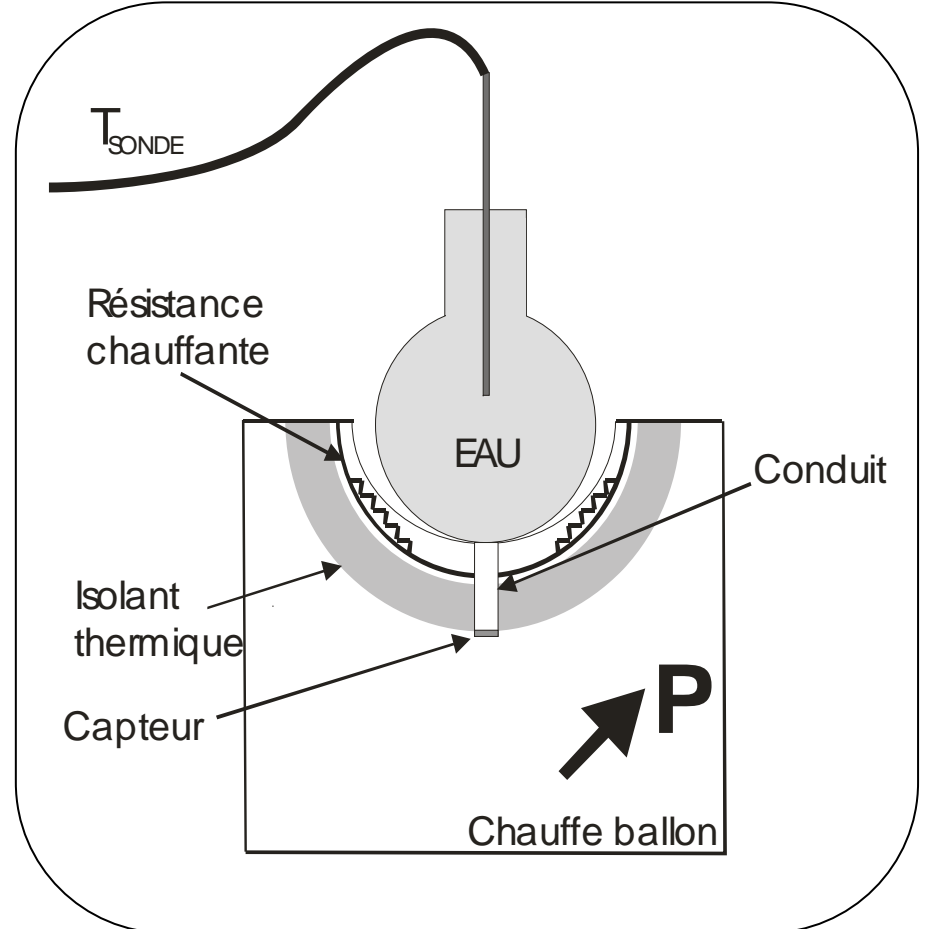
Le Microcapteur de flux thermique IEMN est peu perturbé par la salissure car il fonctionne sans fenètre, Il est cependant un peu sensible à la convection.

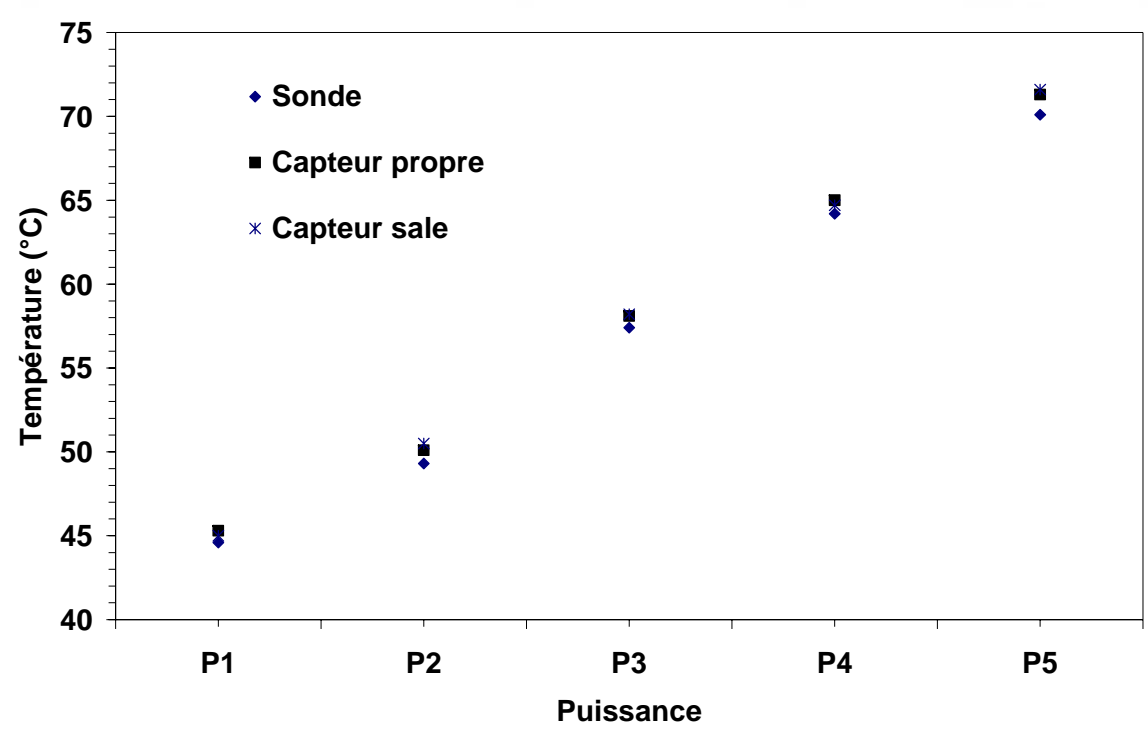




Applications

Intégration du capteur dans un chauffe ballon





La température mesurée est comparée à celle indiquée par la sonde. L'écart est inférieur à 2 % (1°C) même quand le capteur est Sali.

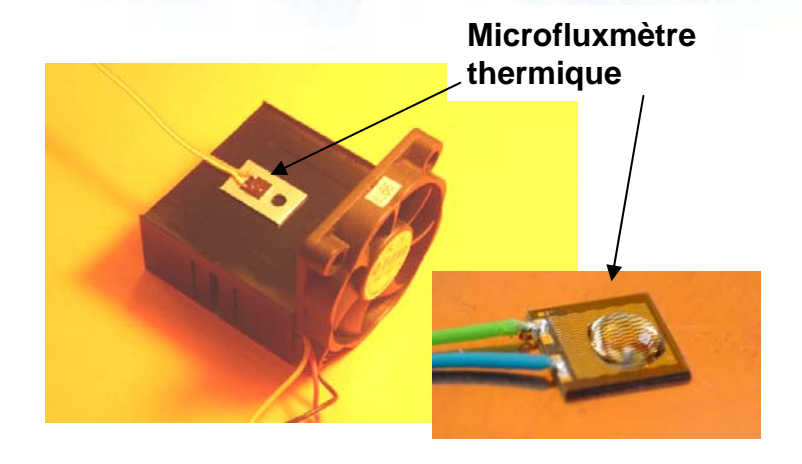


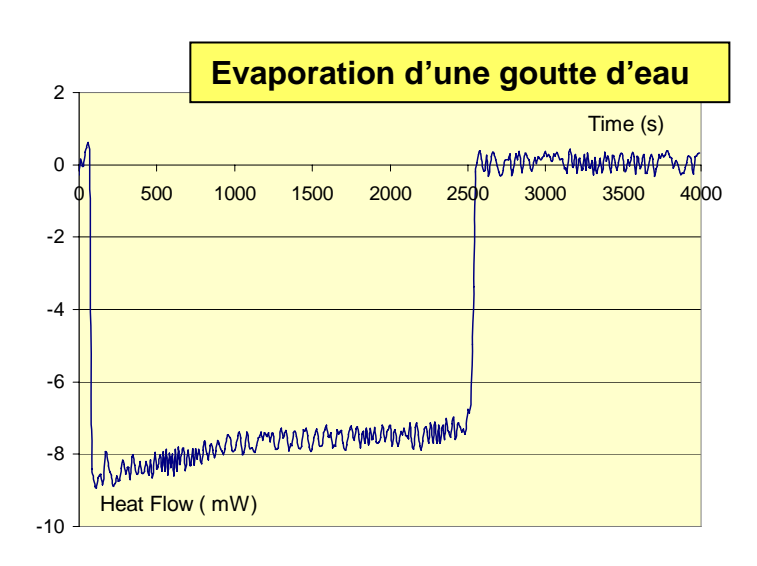


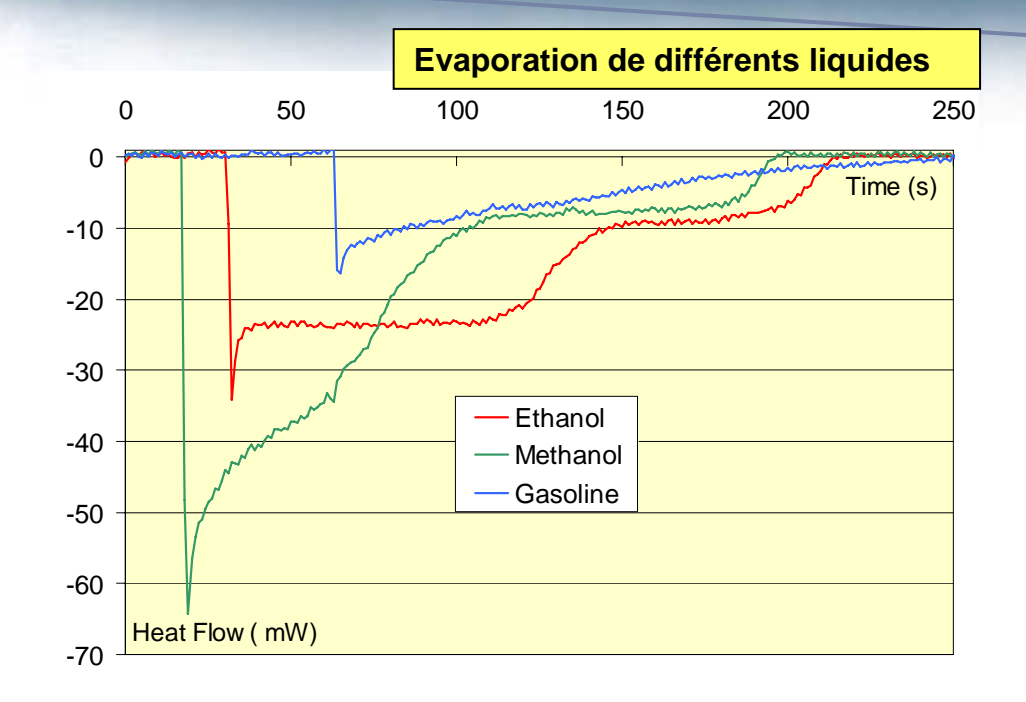
Applications

Application

Détection et identification de liquides







- Le microcapteur mesure le flux de chaleur latente induit par l'évaporation du liquide.
- La présence d'eau dans le liquide provoque l'apparition d'un palier (Ethanol)





Projet avec la société Zehnder Chef de Projet M. LECOCQ

Le groupe Zehnder est représenté à l'échelle mondiale et leader en Europe sur le marché de la fabrication de radiateurs sur mesure.





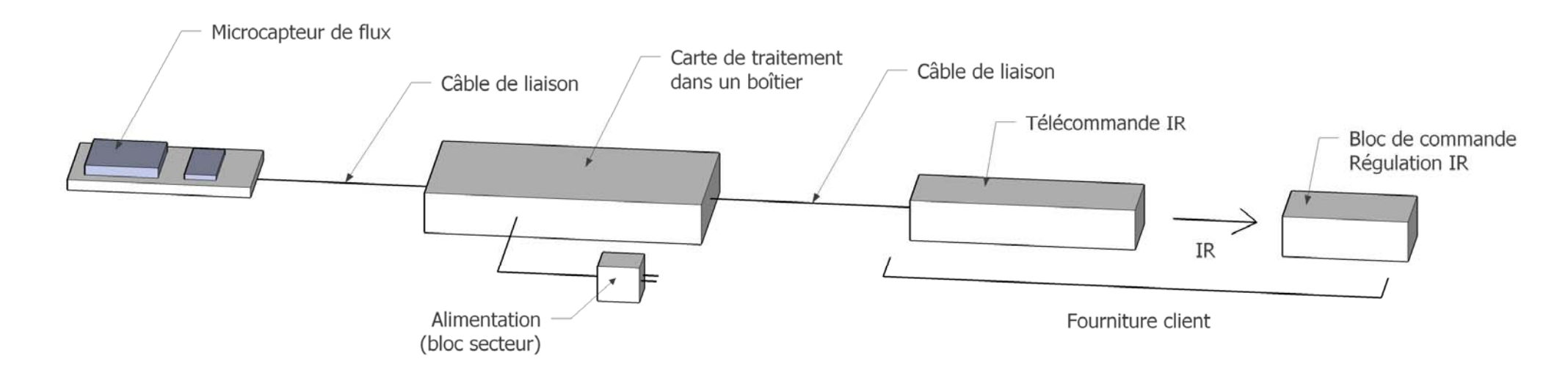
Etude de faisabilité d'un détecteur de linge humide pour sèche serviette de salle de bains





Projet de développement d'une carte électronique destinée à assurer le contrôle d'un sèche-serviettes avec intégration du fluxmètre

- Etude de faisabilité a démontré qu'il était envisageable d'utiliser le capteur de flux thermique développé pour détecter la présence d'un linge humide et assurer le pilotage du sèche-serviettes pour l'obtention d'un séchage satisfaisant.
- Etude fluxmètrique des énergies absorbées par une serviette humide
- Réalisation d'un prototype assurant le contrôle de la fonction séchage du sèche-serviettes.

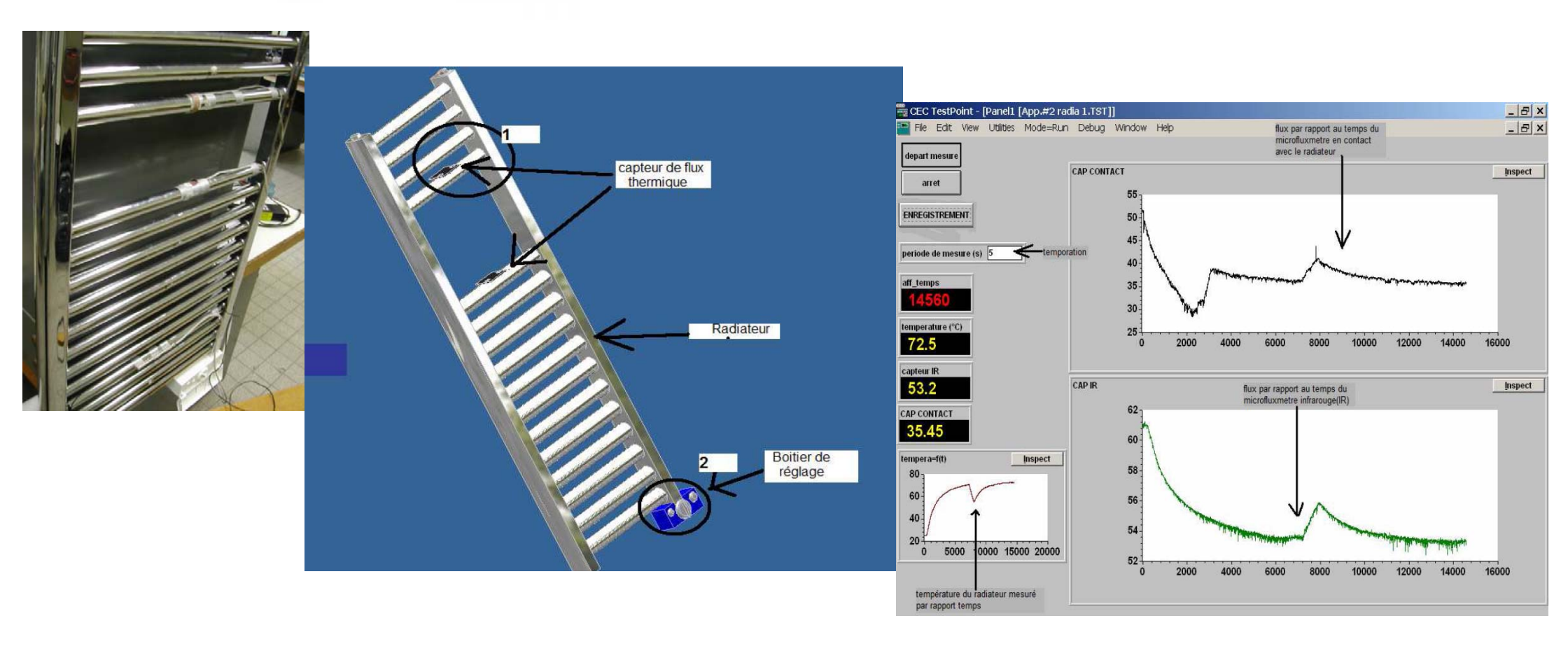






Projet avec la société Zehnder

L'étude de faisabilité a été effectuée par M. SEYE dans le cadre de son stage de fin d'étude (cycle IUT).

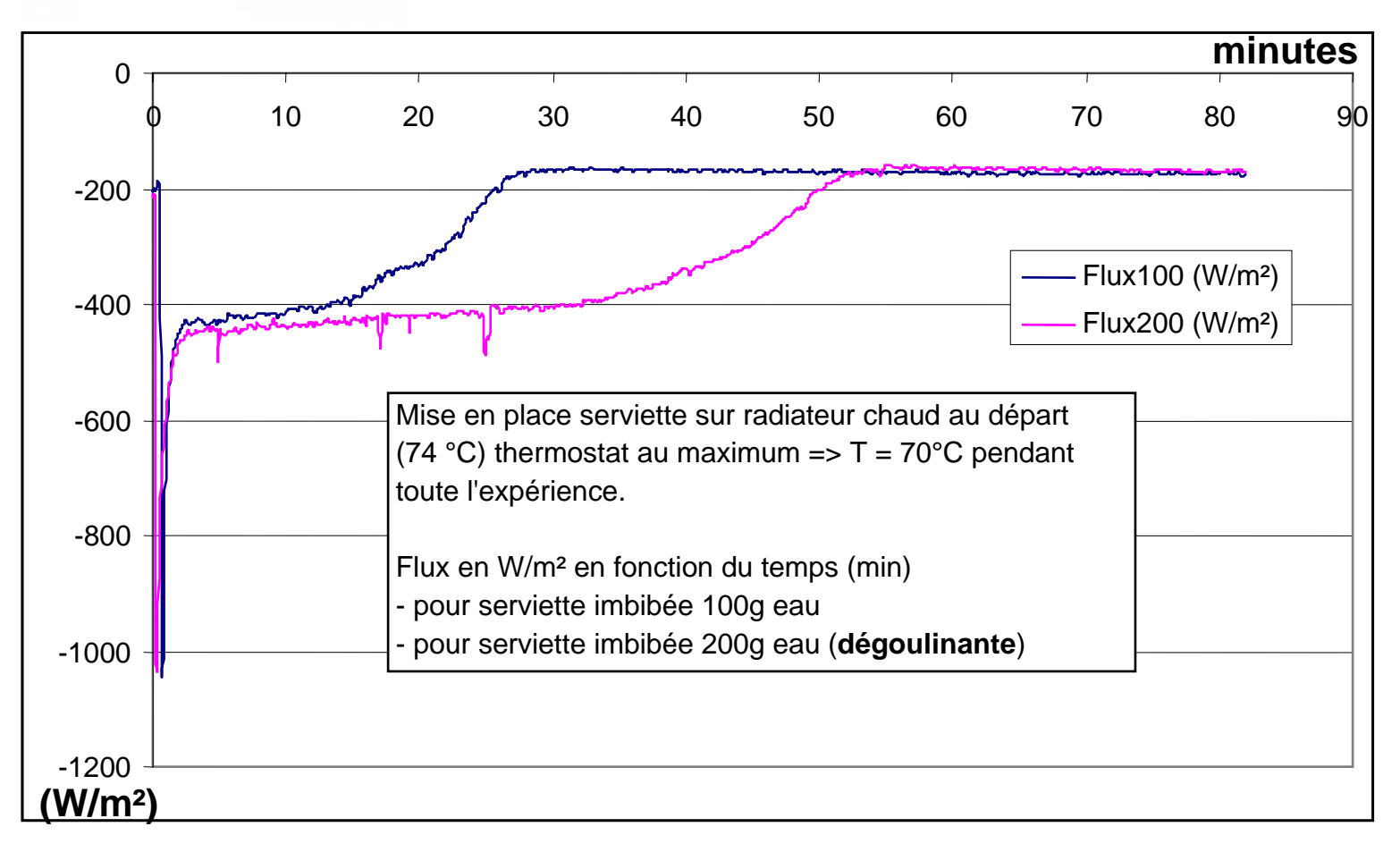




Premier prototype avec intégration du fluxmètre par M. JOORIS technicien (ancien étudiant IUT A) dans le cadre d'un contrat partenarial avec Zehnder.



Exemples de réponses délivrées par le fluxmètre



Relevés sur sèche serviette Zehnder





Projet avec la société KSB Chef de Projet M. SIMEONS

Avec un chiffre d'affaires d'environ deux milliards d'euros, le Groupe KSB compte parmi les plus grands constructeurs de pompes





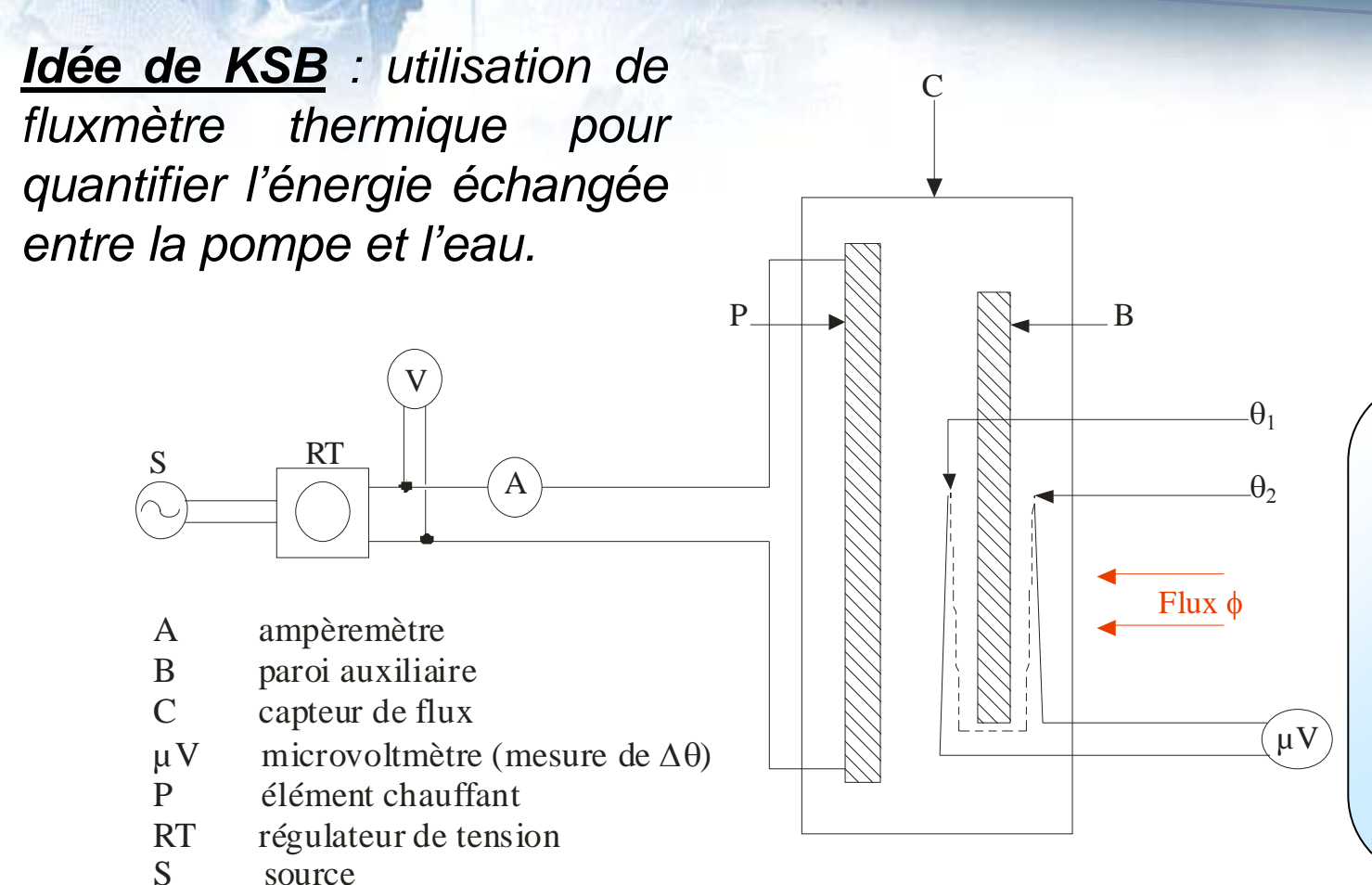


Pompe de relevage à coût élevé

Problématique qui nous intéresse est celle qui concerne les pompes immergées, avec la nécessité de savoir si la pompe est dans l'eau (éviter fonctionnement à vide - risque d'échauffement et destruction).







Le fluxmètre doit être :

- Rapide,
- Peu perturbant (Rth<<),
- Résister à l'eau,
- Faible coût,
- Non intrusif...

V voltmètre Φ flux reçu

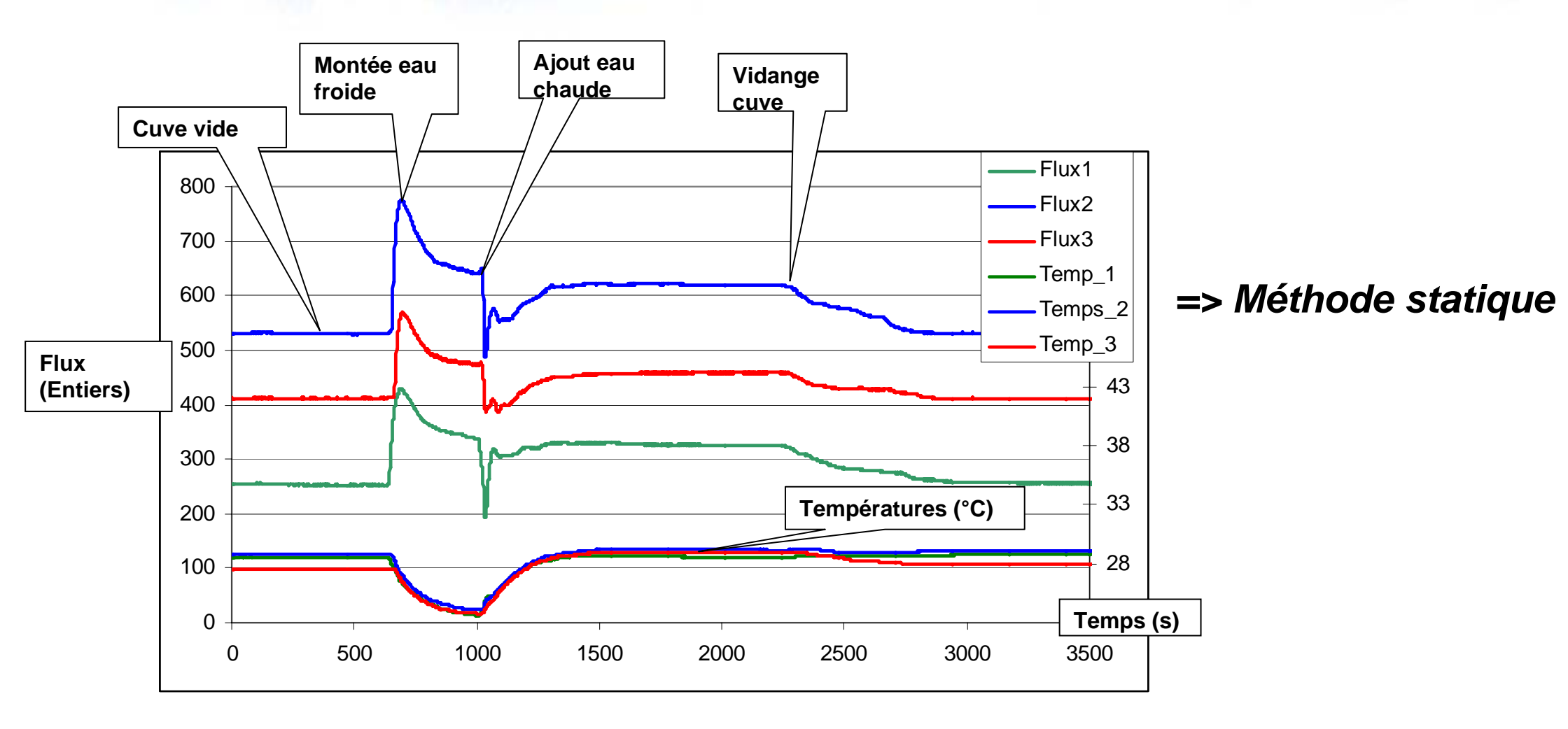
 θ 1, θ 2 température des soudures des couples thermoélectriques

Fluxmètre à méthode de zéro





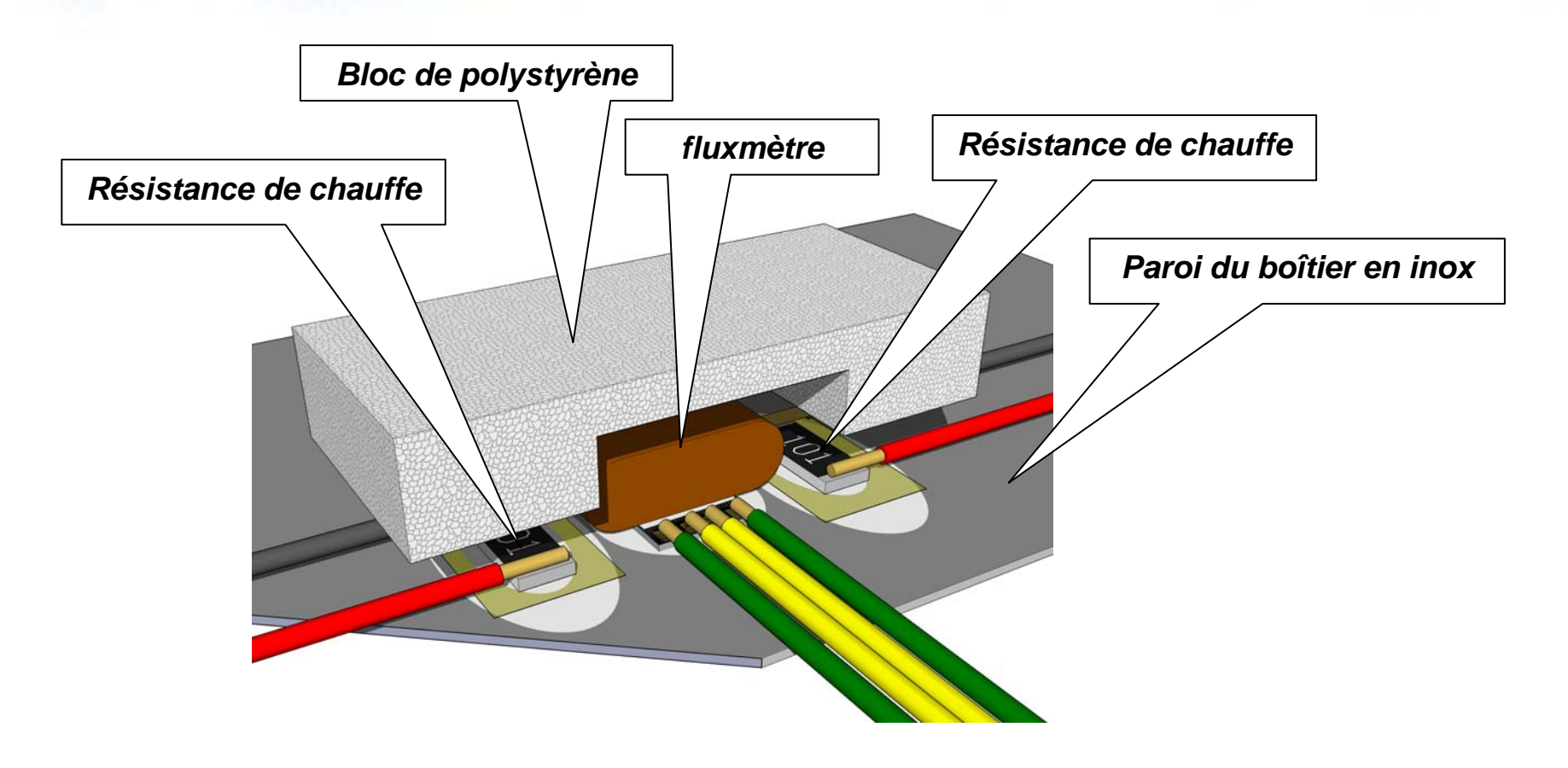
Premiers essais : utilisation de 3 fluxmètres disposés dans le carter de la pompe immergée (fluxmètres intégrant des sondes de températures Pt₁₀₀₀)





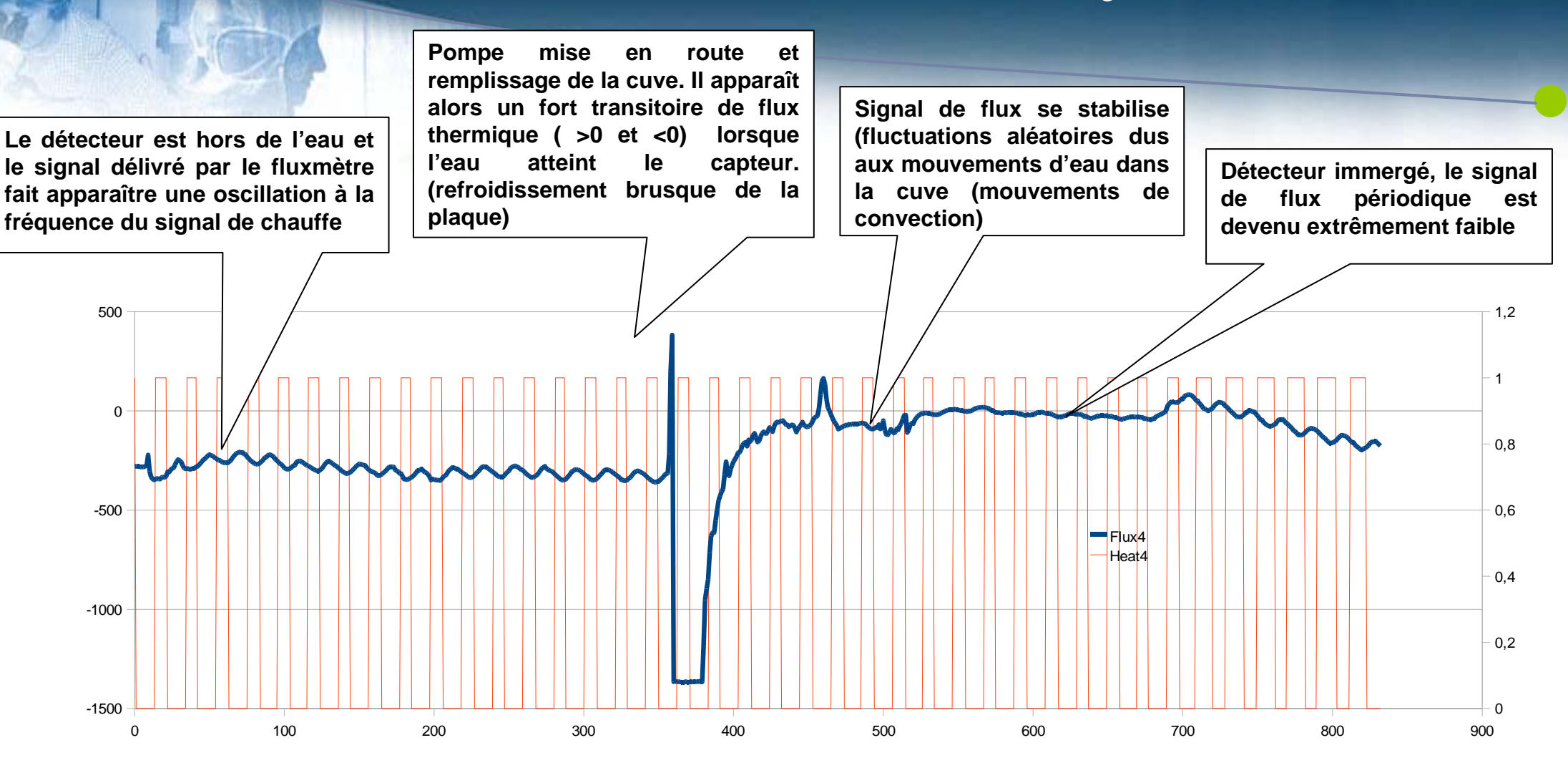


Méthode dynamique









Les résistances chauffantes CMS sont alimentées simultanément par un signal carré de période 20s et de puissance 1,5 W





Avantages du fluxmètre :

- Technologie Silicium compatible CMOS : faible résistance thermique (perturbations dues à sa présence sont faibles), bonne précision de mesure, faible coût de fabrication),

Le capteur permet la mesure :

- Température sans contact (même dans un environnement sale)
- Température avec contact (résistance platine intégrée)
- Flux thermique échangé entre deux corps

Partenariats Industriels

- Etude de l'industrialisation KSB et Zehnder en cours
- Étude de transfert technologique (en cours avec le LETI)
- Nouveau projet Opticook SEB (avec le LAGIS lien IUT A)



